

7. ANEXO

7.1. RESULTADOS DE LOS DIÁMETROS PROMEDIO DE LAS MICROESFERAS MAGNÉTICAS Y SU DESVIACIÓN ESTÁNDAR

Tabla 2. Diámetro y desviación estándar de las microesferas de alginato magnéticas en función de los parámetros de flujo de microfluídica.

FLUJO DISCONTINUO (mL/h)	FLUJO CONTINUO (mL/h)	DIÁMETRO PROMEDIO (μm)	DESVIACIÓN ESTÁNDAR (μm)
2	20	334,80	42,13
	40	274,07	34,07
	60	233,32	22,96
	80	216,86	21,49
	100	167,16	29,35
	120	163,28	19,36
1,5	20	264,34	28,78
	40	240,30	21,71
	60	191,06	17,85
	80	177,11	18,19
	100	155,35	27,25
	120	91,45	18,85
1	20	215,19	32,21
	40	189,77	22,87
	60	145,04	21,65
	80	85,26	15,09
	100	72,10	12,77
	120	55,12	5,25

7.2. RESULTADOS DEL ANÁLISIS ESTADÍSTICO DEL ENSAYO DE DETERMINACIÓN DE LA CONCENTRACIÓN DE Fe_3O_4 EN LAS MICROESFERAS DE ALGINATO

Tabla 3. Resultados del análisis estadístico del ensayo de determinación de la concentración de Fe_3O_4 en las microesferas de alginato. Se muestra el análisis de múltiples comparaciones que indica la significancia estadística entre las muestras.

Número de familias	1
Número de comparaciones por familia	3
Alpha	0,05

Tukey's multiple comparisons test	Mean Diff,	95,00% CI of diff,	Significant?	Summary	Adjusted P Value
Column A vs. Column B	-0,5961	-1,296 to 0,1038	No	ns	0,1106
Column A vs. Column C	-2,173	-2,949 to -1,398	Yes	****	<0,0001
Column B vs. Column C	-1,577	-2,277 to -0,8772	Yes	****	<0,0001

7.3. RESULTADOS DE LA COMPARACIÓN DE MÉTODOS DE INCORPORACIÓN DE SF EN LAS MICROESFERAS MEDIANTE FTIR

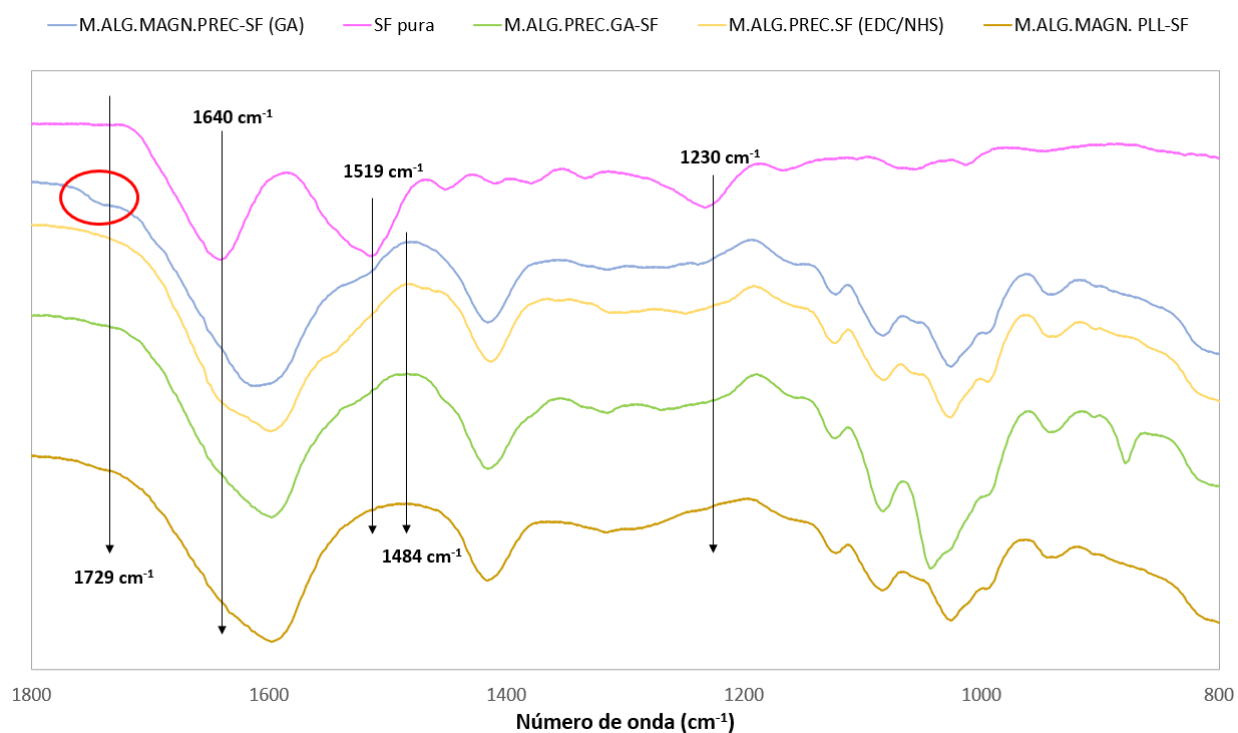


Figura 25. Espectros FTIR complementarios de las M.ALG.MAGN.PREC-SF (GA); M.ALG.MAGN.PREC-SF(EDC/NHS); M.ALG.MAGN.PREC-GA-SF; M.ALG.MAGN.PLL-SF y la SF pura con sus picos característicos.

7.4. FIGURAS COMPLEMENTARIAS DEL ANÁLISIS TERMOGRAVIMÉTRICO

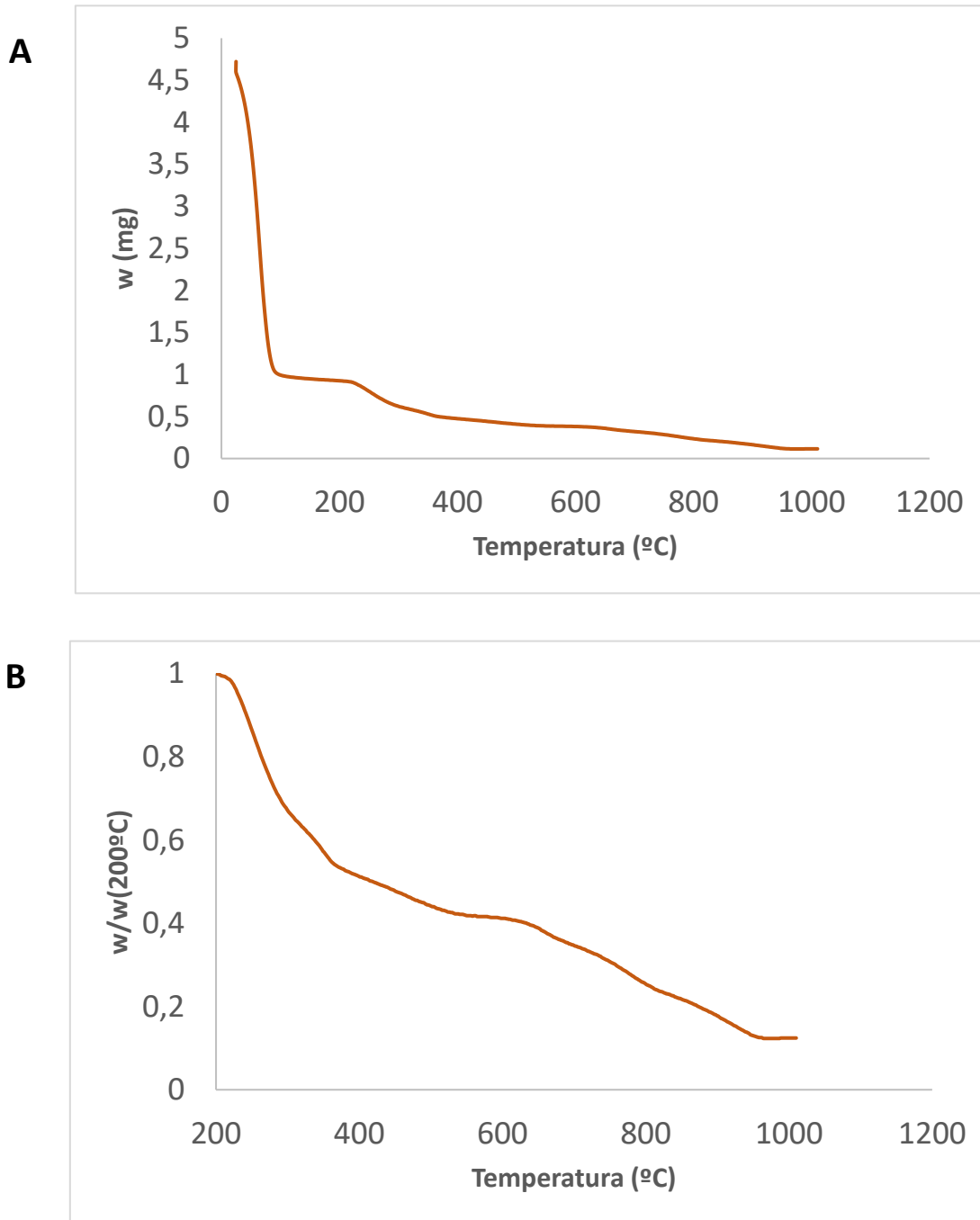


Figura 26. A) Pérdida de peso de las M.ALG.MAGN húmedas en el TGA; B) Evolución del porcentaje del peso en seco de las M.ALG.MAGN.

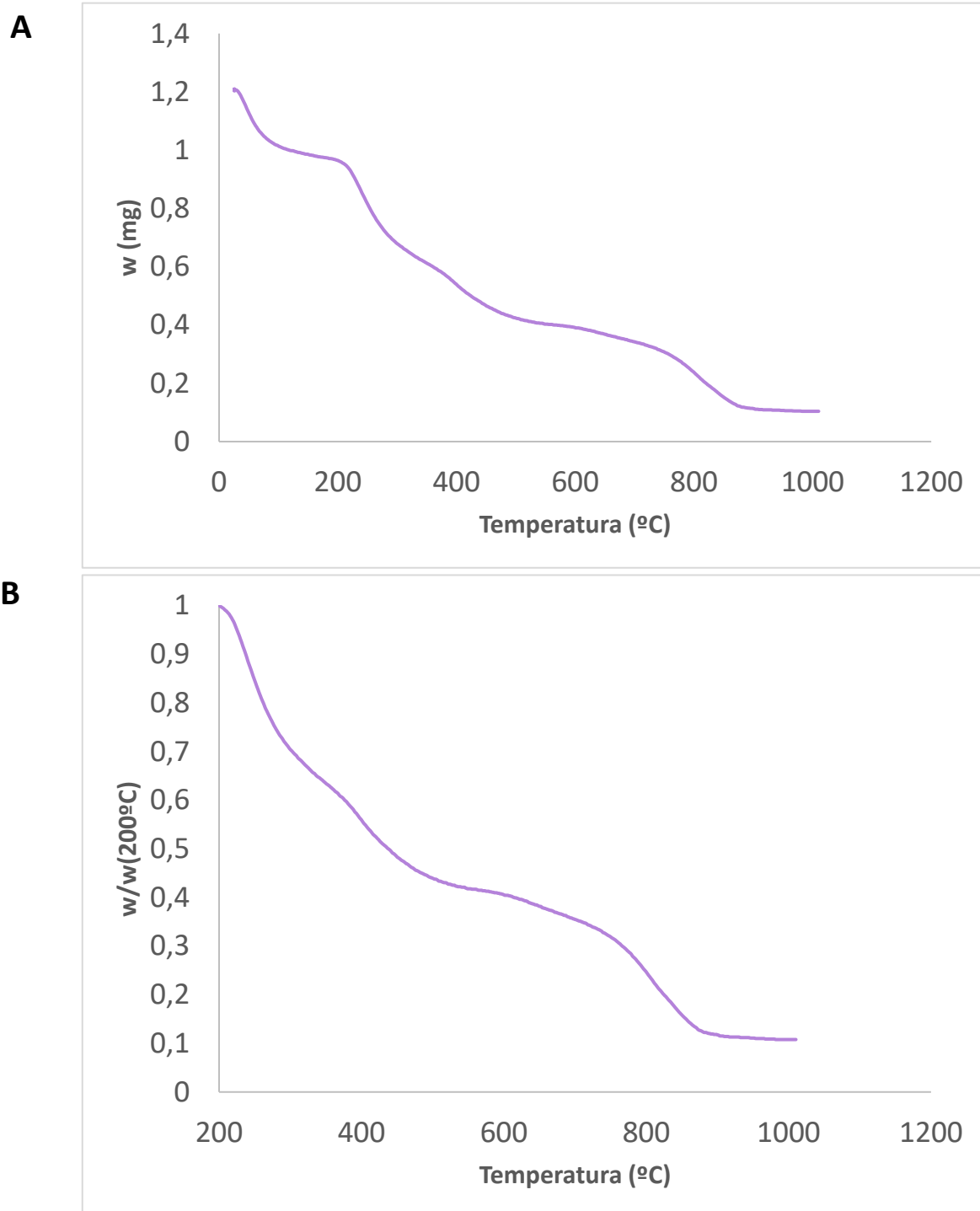


Figura 27. A) Pérdida de peso de las M.ALG.MAGN.PREC. húmedas en el TGA; B) Evolución del porcentaje del peso en seco de las M.ALG.MAGN.PREC.

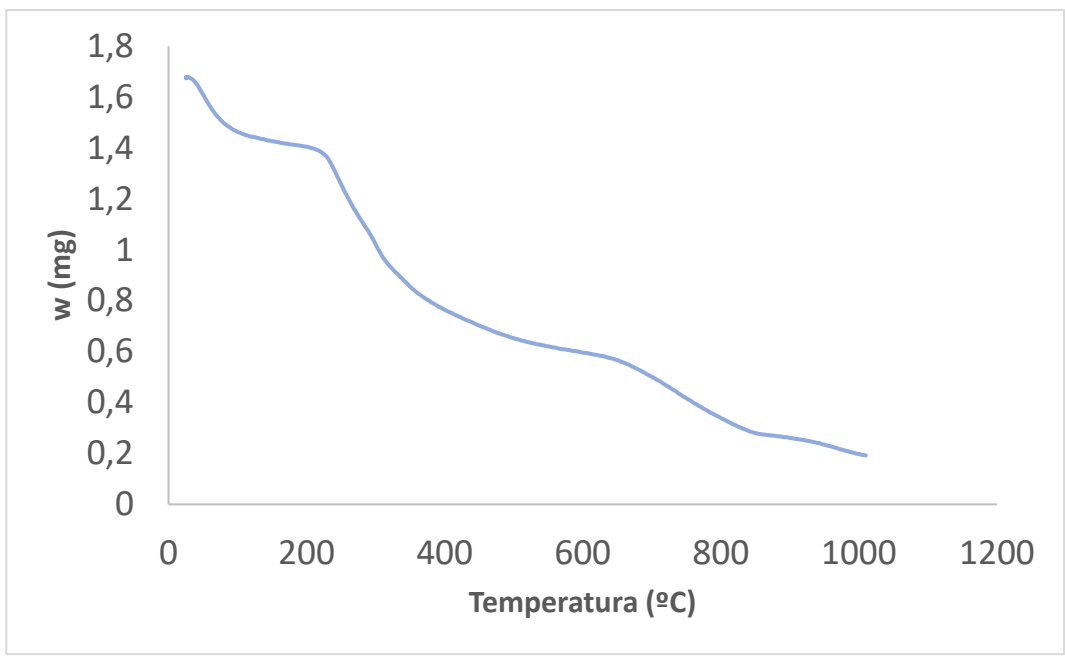
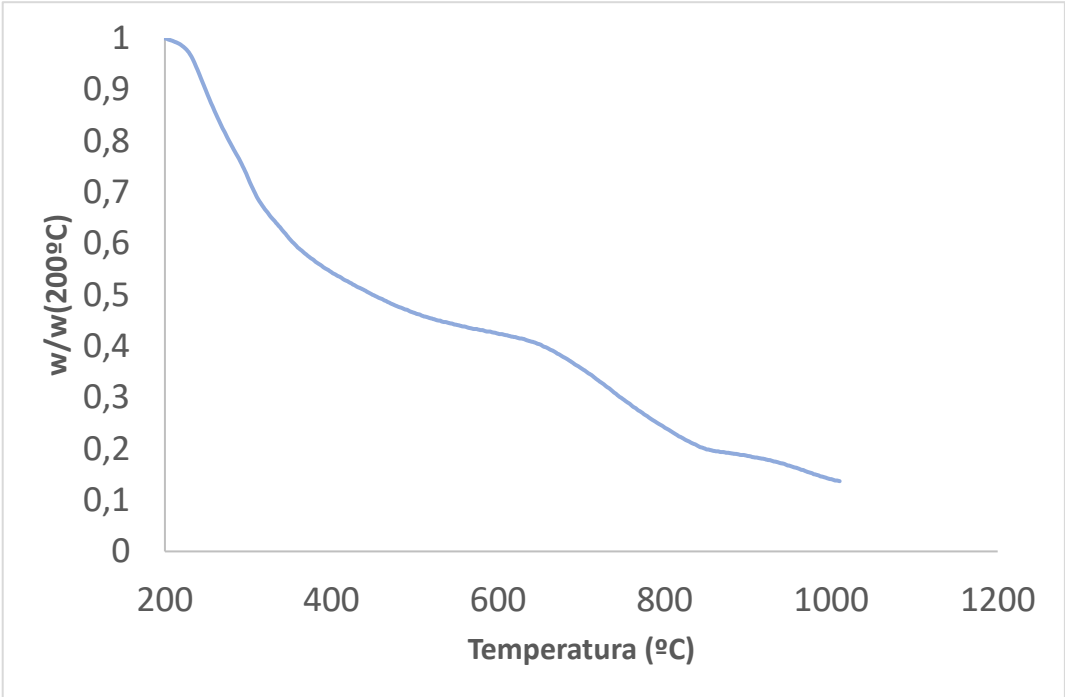
A**B**

Figura 28. A) Pérdida de peso de las M.ALG.MAGN.PREC-SF (GA). húmedas en el TGA; B) Evolución de su porcentaje en peso en seco.

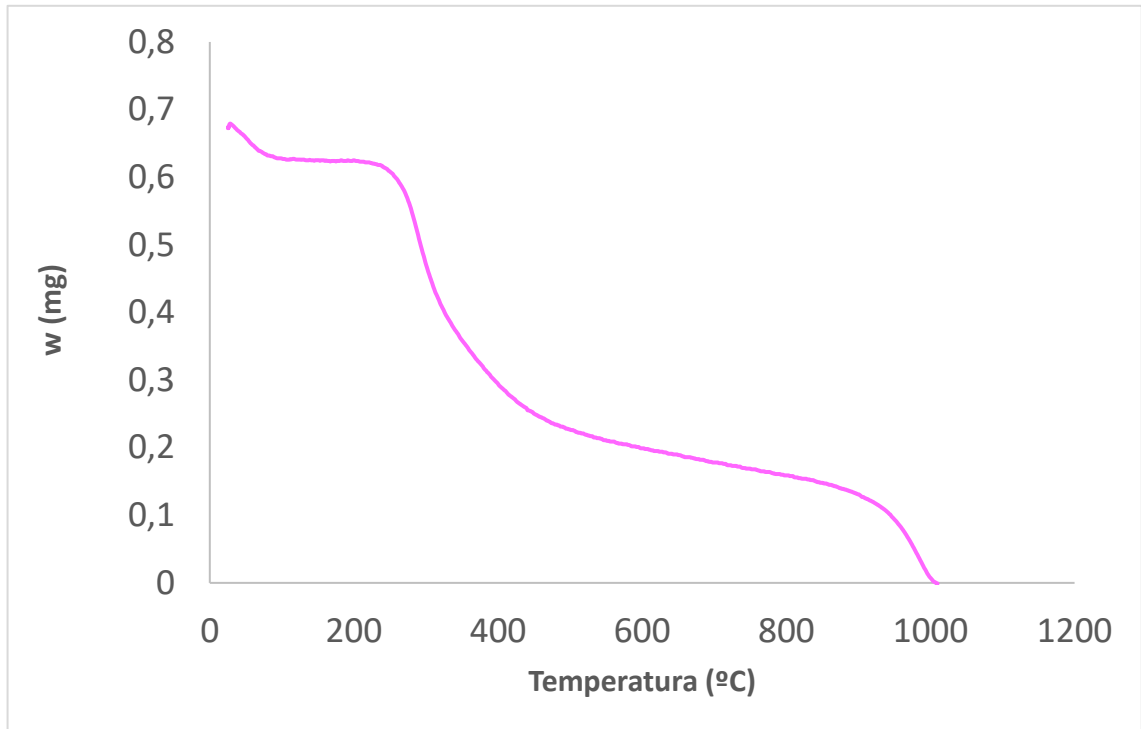
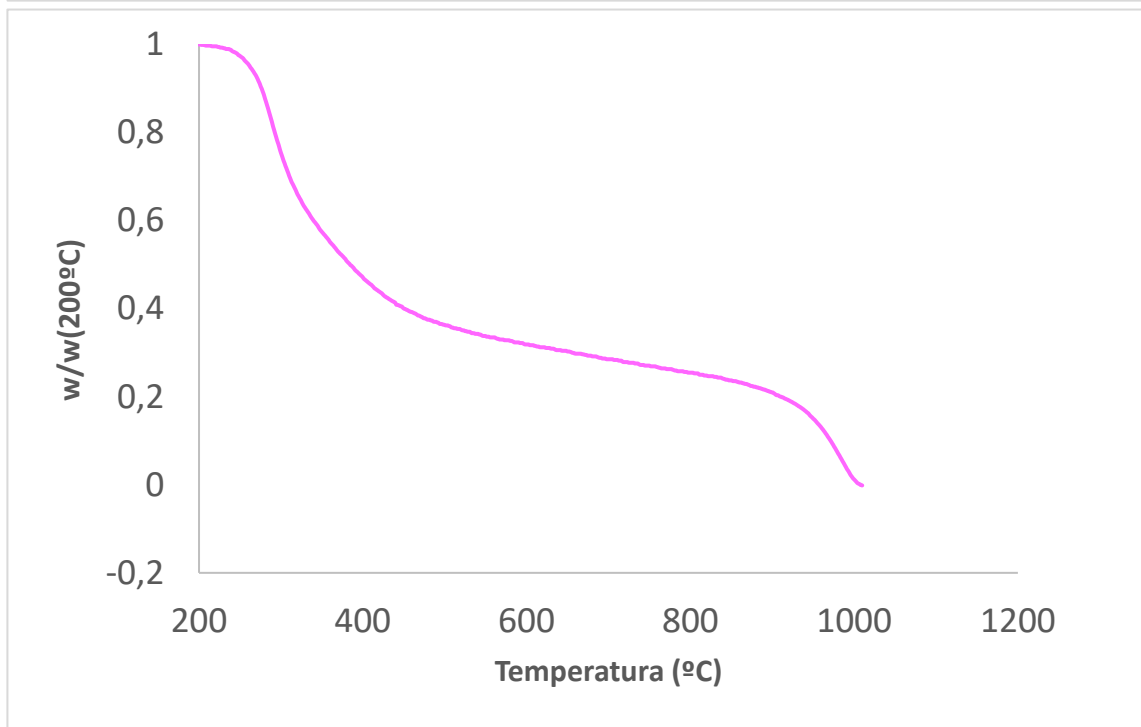
A**B**

Figura 29. A) Pérdida de peso de la SF pura. B) Evolución de su porcentaje en peso en seco.

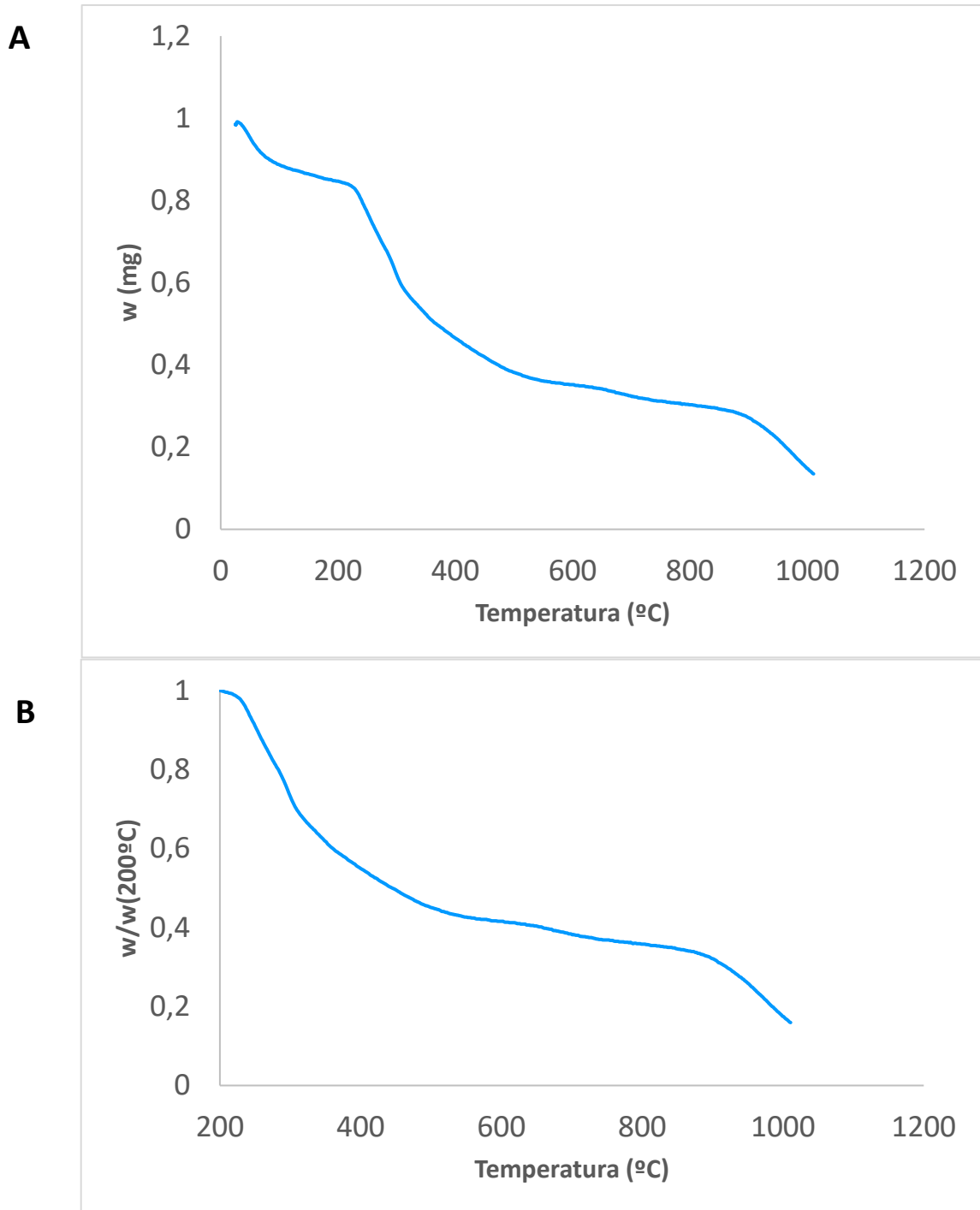


Figura 30. A) Pérdida de peso de las M.ALG-SF húmedas en el TGA. B) Evolución de su porcentaje en peso en seco

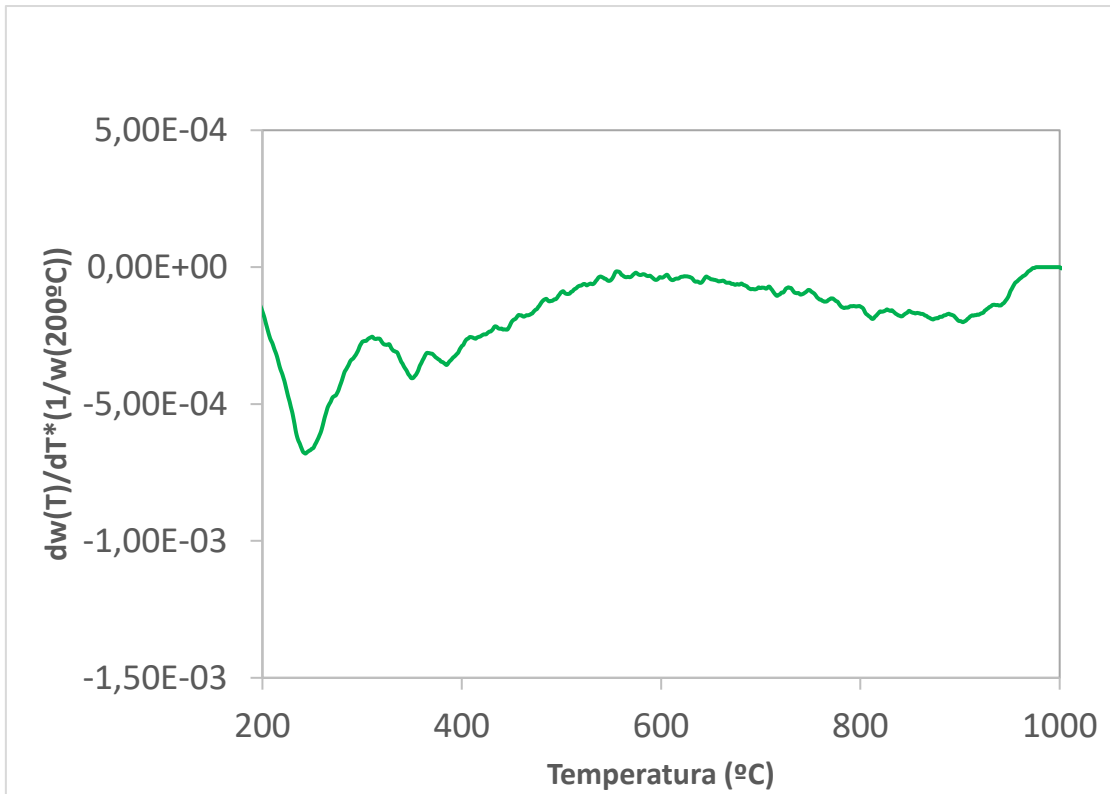


Figura 31. Derivada de la caída del peso en seco de las M.ALG.MAGN.PREC-GA-SF.

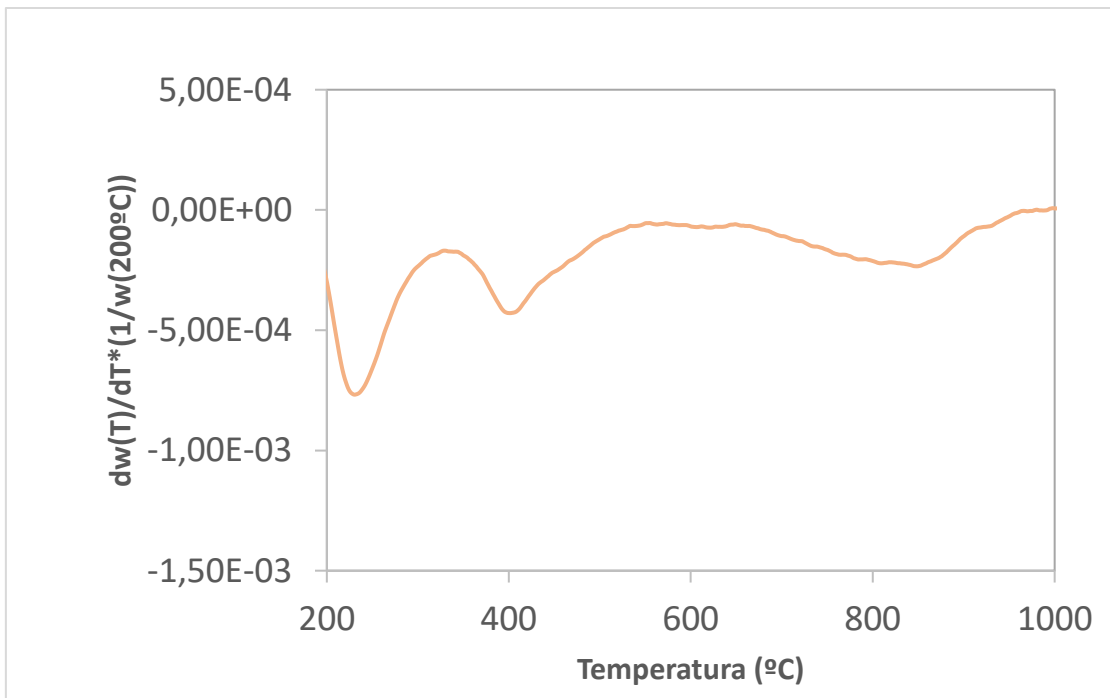


Figura 32. Derivada de la caída del peso en seco de las M.ALG.MAGN.PREC-SF (EDC/NHS)

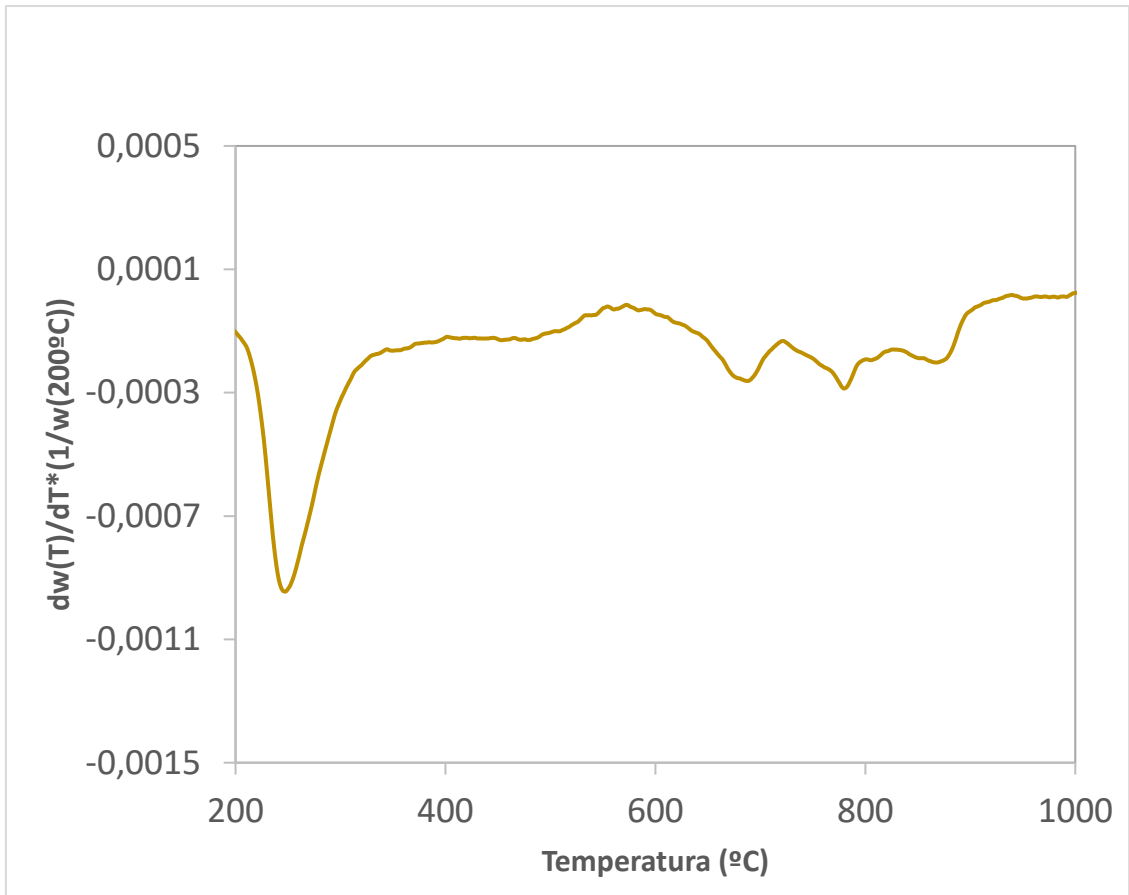


Figura 33. Derivada de la caída del peso en seco de las M.ALG.MAGN.PLL-SF

7.5. RESULTADOS DEL ANÁLISIS ESTADÍSTICO DEL ENSAYO DE VIABILIDAD Y PROLIFERACIÓN CELULAR

En la Tabla 4 se representan los resultados del two-way ANOVA con la corrección para comparaciones múltiples empleando el test Turkey's de los datos del ensayo de viabilidad y proliferación celular (MTS).

Tabla 4. Resultados del análisis estadístico del ensayo MTS. Se muestra el análisis de múltiples comparaciones que indica la significancia estadística entre las muestras.

Número de familias	1
Número de comparaciones por familia	15
Alpha	0,05

Tukey's multiple comparisons test	Mean Diff,	95,00% CI of diff,	Significant?	Summary	Adjusted P Value
DÍA 1:SUSP. vs. DÍA 1:M.ALG.MAGN.PREC.	105139	-26980 to 237259	No	ns	0,1633
DÍA 1:SUSP. vs. DÍA 1:M.ALG.MAGN.PREC-SF	80096	-52023 to 212216	No	ns	0,408
DÍA 1:SUSP. vs. DÍA 3:SUSP.	-76683	-217924 to 64559	No	ns	0,5217
DÍA 1:SUSP. vs. DÍA 3:M.ALG.MAGN.PREC.	-85499	-217619 to 46621	No	ns	0,3419
DÍA 1:SUSP. vs. DÍA 3:M.ALG.MAGN.PREC-SF	-51538	-183657 to 80582	No	ns	0,803
DÍA 1:M.ALG.MAGN.PREC. vs. DÍA 1:M.ALG.MAGN.PREC-SF	-25043	-147362 to 97276	No	ns	0,984
DÍA 1:M.ALG.MAGN.PREC. vs. DÍA 3:SUSP.	-181822	-313941 to -49702	Yes	**	0,0046
DÍA 1:M.ALG.MAGN.PREC. vs. DÍA 3:M.ALG.MAGN.PREC.	-190638	-312957 to -68319	Yes	**	0,0015
DÍA 1:M.ALG.MAGN.PREC. vs. DÍA 3:M.ALG.MAGN.PREC-SF	-156677	-278996 to -34358	Yes	**	0,0085
DÍA 1:M.ALG.MAGN.PREC-SF vs. DÍA 3:SUSP.	-156779	-288898 to -24659	Yes	*	0,0155
DÍA 1:M.ALG.MAGN.PREC-SF vs. DÍA 3:M.ALG.MAGN.PREC.	-165595	-287914 to -43276	Yes	**	0,0053
DÍA 1:M.ALG.MAGN.PREC-SF vs. DÍA 3:M.ALG.MAGN.PREC-SF	-131634	-253953 to -9315	Yes	*	0,0312
DÍA 3:SUSP. vs. DÍA 3:M.ALG.MAGN.PREC.	-8816	-140936 to 123303	No	ns	>0,9999
DÍA 3:SUSP. vs. DÍA 3:M.ALG.MAGN.PREC-SF	25145	-106975 to 157264	No	ns	0,9884
DÍA 3:M.ALG.MAGN.PREC. vs. DÍA 3:M.ALG.MAGN.PREC-SF	33961	-88358 to 156280	No	ns	0,9423